

ДИССИПАТИВНАЯ СВЕТОВАЯ МАСКА ДЛЯ АТОМНОЙ ЛИТОГРАФИИ, СОЗДАННАЯ НЕОДНОРОДНО ПОЛЯРИЗОВАННЫМ ПОЛЕМ

О. Н. Прудников, А. В. Тайченачев, А. М. Тумайкин, В. И. Юдин

*Новосибирский государственный университет,
Институт лазерной физики Сибирского отделения Российской академии наук*
630090, Новосибирск, Россия*

Поступила в редакцию 16 октября 2006 г.

Проведен анализ локализации атомов в глубоком оптическом потенциале на основе полностью квантового описания движения атомов в рамках кинетического уравнения для матрицы плотности. Показано, что лазерное охлаждение нейтральных атомов в глубоком оптическом потенциале при относительно большой отстройке светового поля от резонанса может быть использовано как альтернативный недиссипативным световым маскам метод формирования пространственно-локализованных атомных структур с высоким контрастом для целей атомной литографии.

PACS: 32.80.Pj, 42.50.Vk

1. ВВЕДЕНИЕ

Лазерное охлаждение и фокусировка пучков нейтральных атомов являются одними из приоритетных направлений исследования в атомной оптике. Значительное развитие в последнее время получила литография атомных пучков с использованием световых полей в качестве нематериальных оптических масок [1, 2]. В большинстве экспериментов атомные структуры были получены посредством далеко отстроенных от резонанса периодических недиссипативных оптических потенциалов. Данная схема имеет классический аналог с тем лишь отличием, что материальный атомный пучок фокусируется на поверхность нематериальным массивом линз, созданным интенсивным световым полем. Влиянием спонтанной эмиссии атомов на фокусировку атомного пучка в этих условиях можно пренебречь в связи с большой отстройкой частоты светового поля от атомного резонанса и малым временем взаимодействия атомов со светом. Траектория атомов изменяется под действием консервативной дипольной силы без диссипации энергии атомного пучка, и фокусировка атомов может быть описана по аналогии с фокусировкой в классической оптике [3]. Для недис-

сипативной оптической маски минимальный размер получаемых структур ограничен в основном хроматической абберацией, вызванной разбросом поперечных скоростей атомов в пучке. Для уменьшения вредного влияния хроматической абберации необходимо дополнительное световое поле, которое посредством лазерного охлаждения атомов в поперечном направлении обеспечивает предварительную коллимацию атомного пучка. Кроме того, имеют место эффекты сферической абберации, приводящие к тому, что часть атомов недостаточно хорошо фокусируется, уменьшая контраст локализованных атомных структур. Эти факторы доминируют и не позволяют достичь минимально возможного теоретического дифракционного предела, определяемого длиной волны де Бройля, который для атомов в пучке может составлять несколько пикометров. Поэтому ведется интенсивный поиск новых альтернативных методов для атомной литографии.

Идея использовать комбинацию фокусировки и коллимации (за счет лазерного охлаждения) атомного пучка для достижения узких пространственных структур при взаимодействии с сильным полем, отстроенным от резонанса в синюю сторону, была впервые высказана Казанцевым с соавторами (см. монографию [4] и приведенные там ссыл-

*E-mail: llf@laser.nsc.ru

ки). Недавно эта идея получила дальнейшее развитие в работах [5, 6] в связи с возможными приложениями в атомной литографии. В этих работах интенсивное поле в основном используется для фокусировки атомного пучка посредством глубокого оптического потенциала. Дополнительно в таком поле возникает диссипативная добавка к силе (сила трения), охлаждающая атомы при положительной (синей) отстройке частоты поля от резонанса, что приводит к локализации атомов в минимумах оптического потенциала. Характерное время взаимодействия, на котором проявляются диссипативные процессы, составляет несколько обратных частот отдачи ω_R^{-1} (где $\hbar\omega_R = \hbar^2 k^2 / 2M$ — энергия отдачи, получаемая атомом с массой M в покое при излучении или поглощении фотона с импульсом $\hbar k$). Это время для большинства атомов с оптическими переходами, пригодными для лазерного охлаждения, составляет десятки микросекунд. Однако для атомных пучков с тепловыми продольными скоростями достаточно сложно экспериментально реализовать данный тип диссипативной оптической маски из-за ограниченной мощности используемых лазеров.

В настоящей работе рассматривается альтернативный режим диссипативной световой маски, созданной неоднородно поляризованным полем с отрицательной (красной) отстройкой частоты и малой интенсивностью. Хорошо известно, что в таких полях имеет место субдоплеровское охлаждение нейтральных атомов. Механизм лазерного охлаждения данного типа хорошо изучен и рассмотрен во множестве работ [7–11] в основном по отношению к температуре атомного ансамбля и импульсному распределению атомов, а также к пространственной локализации [12, 13], которая измерялась косвенно спектроскопическими методами [14, 15]. Следует отметить, что в общем случае условия для глубокого субдоплеровского лазерного охлаждения не совпадают с условиями, необходимыми для сильной пространственной локализации атомов. При этом использование более глубоких оптических потенциалов для лазерного охлаждения, как правило, приводит к более высоким температурам атомного ансамбля.

Вследствие большой сложности квантового кинетического уравнения для матрицы плотности атомов в световом поле широкое распространение получило так называемое секулярное приближение [10, 11, 16–18], применимое в пределе [16]

$$\sqrt{U_0/\hbar\omega_R} \ll |\delta|/\gamma. \quad (1)$$

Данное приближение предполагает, что расстояние между энергетическими зонами в оптическом по-

тенциале больше их ширины, обусловленной оптической накачкой и туннелированием. Световой сдвиг U_0 определяет глубину оптического потенциала. Здесь $\delta = \omega - \omega_0$ — отстройка частоты светового поля ω от частоты атомного перехода ω_0 , а γ — скорость спонтанного излучения. При фиксированной глубине оптического потенциала данное приближение справедливо в пределе больших отстроек. И наоборот, как легко заметить, при заданной отстройке оно нарушается в глубоком оптическом потенциале. Более того, даже при выполнении условия (1) секулярное приближение справедливо лишь для нижних колебательных уровней оптического потенциала и нарушается для более высоких, где расстояние между колебательными уровнями становится меньшим вследствие эффектов ангармонизма, и особенно для атомов, совершающих надбарьерное движение.

В настоящей работе рассматривается возможность применения методов лазерного охлаждения нейтральных атомов в глубоком оптическом потенциале, созданном световым полем с неоднородной поляризацией, с целью создания пространственно-локализованных атомных структур с высоким контрастом для атомной литографии. Исследуются режимы, отличные от условий глубокого субдоплеровского лазерного охлаждения. Для корректного описания пространственного распределения атомов, в том числе для корректного учета атомов, совершающих надбарьерное движение и дающих вклад в подложку, мы не ограничиваемся рамками секулярного приближения. Напротив, предложен полностью квантовый численный анализ кинетического уравнения для атомной матрицы плотности, позволяющий точно учесть поступательное движение атомов и эффекты отдачи. В частности, нами рассмотрены условия, выходящие за рамки секулярного приближения. Дополнительно проведен анализ важных для приложений в атомной литографии параметров: ширины и контраста локализованных атомных структур, достижимых при использовании предлагаемой диссипативной маски.

2. ПОСТАНОВКА ЗАДАЧИ

Рассмотрим одномерное движение атомов (вдоль оси z), имеющих полные угловые моменты в основном j_g и возбужденном j_e состояниях, в поле, образованном встречными световыми волнами равной частоты и интенсивности

$$\begin{aligned} \mathbf{E}(z, t) &= E_0 (\mathbf{e}_1 e^{ikz} + \mathbf{e}_2 e^{-ikz}) e^{-i\omega t} + \text{c.c.}, \\ \mathbf{e}_n &= \sum_{q=0, \pm 1} e_n^q \mathbf{e}_q, \quad n = 1, 2. \end{aligned} \quad (2)$$

Здесь E_0 — амплитуда каждой из встречных волн. Единичные векторы \mathbf{e}_1 и \mathbf{e}_2 с компонентами e_n^q в циклическом базисе

$$\left\{ \mathbf{e}_0 = \mathbf{e}_z, \quad \mathbf{e}_{\pm 1} = \mp \frac{\mathbf{e}_x \pm i\mathbf{e}_y}{\sqrt{2}} \right\}$$

определяют поляризацию встречных волн. В данной работе мы ограничимся приближением, соответствующим малому параметру насыщения:

$$S = \frac{\Omega^2}{\delta^2 + \gamma^2/4} \ll 1, \quad (3)$$

где $\Omega = E_0 d / \hbar$ — частота Раби для каждой из встречных волн, d — дипольный момент оптического перехода. В пределе малого насыщения (3) элементы атомной матрицы плотности, отвечающие возбужденному состоянию, могут быть адиабатически исключены и уравнение, описывающее эволюцию атомной матрицы плотности известной процедурой, может быть сведено к уравнению для эволюции элементов матрицы плотности основного состояния [10, 11]:

$$\frac{d}{dt} \hat{\rho} = -\frac{i}{\hbar} [\hat{H}, \hat{\rho}] + \hat{\Gamma}\{\hat{\rho}\}, \quad (4)$$

где гамильтониан \hat{H} определяется как

$$\hat{H} = \frac{\hat{p}^2}{2M} + \hbar \delta S \hat{V}^\dagger \hat{V}. \quad (5)$$

Последнее слагаемое в выражении (5) описывает когерентное взаимодействие атома с резонансным световым полем, где

$$\begin{aligned} \hat{V} &= \hat{V}_1 e^{ik\hat{z}} + \hat{V}_2 e^{-ik\hat{z}} = \\ &= \sum_q \hat{T}_q e_1^q e^{ik\hat{z}} + \sum_q \hat{T}_q e_2^q e^{-ik\hat{z}}. \end{aligned} \quad (6)$$

Оператор \hat{T}_q может быть выражен через коэффициенты Клебша–Гордана в базисе волновых функций подуровней возбужденного $|j_e, \mu_e\rangle$ и основного $|j_g, \mu_g\rangle$ состояний:

$$\hat{T}_q = \sum_{\mu_e, \mu_g} C_{1,q; j_g, \mu_g}^{j_e, \mu_e} |j_e, \mu_e\rangle \langle j_g, \mu_g|, \quad (7)$$

где μ_e и μ_g — проекции угловых моментов возбужденного и основного состояний.

Последний член $\hat{\Gamma}\{\hat{\rho}\}$ кинетического уравнения (4) описывает релаксацию атомной матрицы плотности и имеет вид

$$\begin{aligned} \hat{\Gamma}\{\hat{\rho}\} &= -\frac{\gamma S}{2} \{ \hat{V}^\dagger \hat{V}, \hat{\rho} \} + \\ &+ \gamma S \sum_{q=0, \pm 1} \int_{-1}^1 \hat{T}_q^\dagger e^{-iks\hat{z}} \hat{V} \hat{\rho} \hat{V}^\dagger e^{iks\hat{z}} \hat{T}_q K_q(s) ds, \end{aligned} \quad (8)$$

где $\{\hat{a}, \hat{c}\} = \hat{a}\hat{c} + \hat{c}\hat{a}$ — стандартное обозначение для антикоммутатора, а \hat{z} — оператор положения. Функции

$$K_{\pm 1}(s) = \frac{3}{8}(1 + s^2), \quad K_0(s) = \frac{3}{4}(1 - s^2)$$

определяются вероятностью спонтанной эмиссии фотона с поляризацией $q = \pm 1, 0$ в направлении $s = \cos \theta$ по отношению к оси z .

3. СТАЦИОНАРНОЕ РЕШЕНИЕ ДЛЯ АТОМНОЙ МАТРИЦЫ ПЛОТНОСТИ

Существует множество подходов к описанию эволюции атомной матрицы плотности. Отметим, что квантовая постановка задачи весьма трудоемка, поскольку включает в себя описание эволюции как внутренних, так и поступательных степеней свободы атомов. Поэтому в большинстве работ, посвященных квантованному движению атомов в оптических решетках, используется упрощенный подход, основанный на секулярном приближении [10, 11, 18]. Он заключается в следующем. Во-первых, необходимо решить задачу о поиске собственных значений и функций гамильтониана \hat{H} . В дальнейшем, пренебрегая недиагональными элементами, кинетическое уравнение сводится к балансному виду лишь для диагональных элементов матрицы плотности в собственном базисе. При этом скорости перехода между состояниями характеризуются релаксационной частью $\hat{\Gamma}\{\hat{\rho}\}$. Секулярное приближение для кинетического уравнения (4) хорошо выполняется для нижних энергетических уровней, когда энергетическое расщепление между соседними колебательными состояниями много меньше ширины уровней вследствие эффектов оптической накачки и туннелирования. Эти условия подразумевают достаточно большую настройку светового поля. Несмотря на это, плотность колебательных состояний для верхних уровней возрастает. Также для них возрастет влияние эффектов туннелирования [11]. Это приводит к нарушению условий секулярного приближения, особенно

для верхних колебательных уровней атомов и тем более для атомов, совершающих надбарьерное движение.

Для корректного одновременного описания эффектов локализации и нелокализованной фракции атомов будем использовать альтернативный подход для квантового расчета стационарной матрицы плотности. В вигнеровском представлении квантовое кинетическое уравнение (4) для матрицы плотности атомов $\hat{\rho}(x, p)$ может быть записано как

$$\left(\frac{\partial}{\partial t} + \frac{p}{M} \frac{\partial}{\partial z}\right) \hat{\rho}(z, p) = -i\delta S [\hat{V}^\dagger \hat{V}, \hat{\rho}]^{(W)} - \frac{\gamma S}{2} \left\{ \hat{V}^\dagger \hat{V}, \hat{\rho} \right\}^{(W)} + \hat{\gamma} \{ \hat{\rho} \}. \quad (9)$$

Часть, описывающая взаимодействие с полем, имеет лишь нулевую и вторую пространственные гармоники:

$$\hat{V}^\dagger \hat{V} = \hat{W}_0 + \hat{W}_+ e^{2ikz} + \hat{W}_- e^{-2ikz}. \quad (10)$$

Поэтому коммутатор $[\dots, \dots]^{(W)}$ и антикоммутатор $\{\dots, \dots\}^{(W)}$ в (9) в вигнеровском представлении имеют вид

$$\begin{aligned} \left(\hat{V}^\dagger \hat{V} \hat{\rho} \mp \hat{\rho} \hat{V}^\dagger \hat{V}\right)^{(W)} &= \hat{W}_0 \hat{\rho}(z, p) \mp \hat{\rho}(z, p) \hat{W}_0 + \\ &+ \left(\hat{W}_- \hat{\rho}(z, p + \hbar k) \mp \hat{\rho}(z, p - \hbar k) \hat{W}_-\right) e^{-2ikz} + \\ &+ \left(\hat{W}_+ \hat{\rho}(z, p - \hbar k) \mp \hat{\rho}(z, p + \hbar k) \hat{W}_+\right) e^{2ikz}. \end{aligned} \quad (11)$$

Последнее слагаемое в уравнении (9), описывающее релаксацию матрицы плотности в результате спонтанной эмиссии фотонов, имеет известный вид:

$$\begin{aligned} \hat{\gamma} \{ \hat{\rho}(z, p) \} &= \gamma S \sum_{q=0, \pm 1} \int_{-\hbar k}^{\hbar k} \frac{dp'}{\hbar k} K_q \left(\frac{p'}{\hbar k} \right) \hat{T}_q^\dagger \times \\ &\times \left[\hat{V}_1 \hat{\rho}(z, p + p') \hat{V}_2^\dagger e^{2ikz} + \hat{V}_2 \hat{\rho}(z, p + p') \hat{V}_1^\dagger e^{-2ikz} + \right. \\ &\left. + \hat{V}_1 \hat{\rho}(z, p + p' - \hbar k) \hat{V}_1^\dagger + \hat{V}_2 \hat{\rho}(z, p + p' + \hbar k) \hat{V}_2^\dagger \right] \hat{T}_q. \end{aligned}$$

Уравнение (9) допускает пространственно-периодическое решение для матрицы плотности в виде ряда:

$$\hat{\rho}(z, p) = \sum_n \hat{\rho}^{(n)}(p) e^{2inkz}. \quad (12)$$

Соответственно, уравнение для компонент $\hat{\rho}^{(n)}$ может быть записано в виде

$$\begin{aligned} \left(\frac{\partial}{\partial t} + 2ni \frac{p}{M}\right) \hat{\rho}^{(n)} &= \\ &= \mathcal{L}_0 \{ \hat{\rho}^{(n)} \} + \mathcal{L}_+ \{ \hat{\rho}^{(n-1)} \} + \mathcal{L}_- \{ \hat{\rho}^{(n+1)} \}, \end{aligned} \quad (13)$$

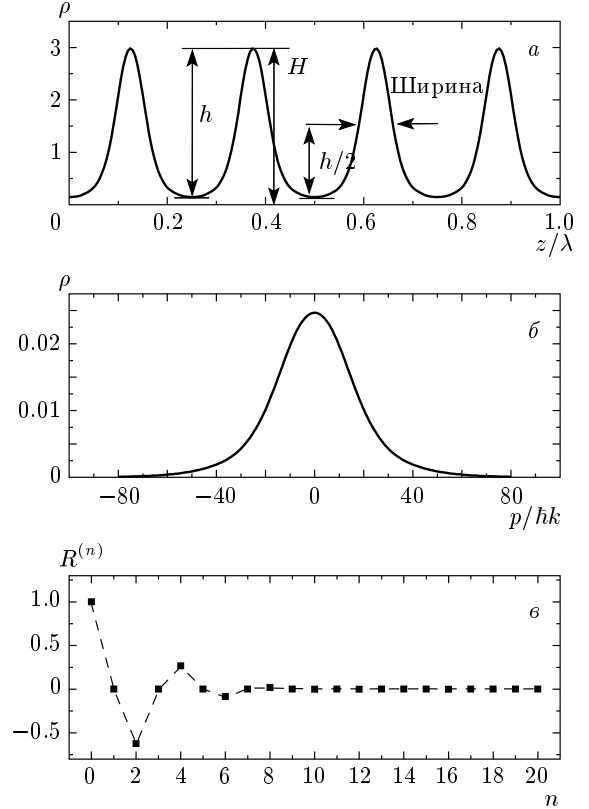


Рис. 1. Стационарные пространственное (а) и импульсное (б) распределения атомов, амплитуды пространственных гармоник матрицы плотности (в) для атомов с оптическим переходом $j_g = 1 \rightarrow j_e = 2$ и массой, соответствующей атому Cr, при отстройке светового поля $\delta = -40\gamma$ и параметре насыщения $S = 0.5$

где $\mathcal{L}_0, \mathcal{L}_+, \mathcal{L}_-$ — лиувиллианы, соответствующие нулевой и второй пространственным гармоникам уравнения (9).

В задаче о поиске стационарного решения ($\partial \hat{\rho} / \partial t = 0$) подобная рекурсия может быть решена методом цепных дробей. Данный подход часто использовался для анализа оптического уравнения Блоха в различных спектроскопических задачах [19–21], а также для поиска силы, действующей на атомы в световых полях (см., например, [22, 23]). Основное отличие нашего рассмотрения заключается в том, что уравнение (13) более сложное и содержит эффект отдачи. Отметим, что подобная задача для описания лазерного охлаждения с учетом эффектов отдачи, но без учета пространственной локализации была рассмотрена в работе [24]. В этой работе использовалась простейшая модель двухуровневого атома и рассматривалось лишь

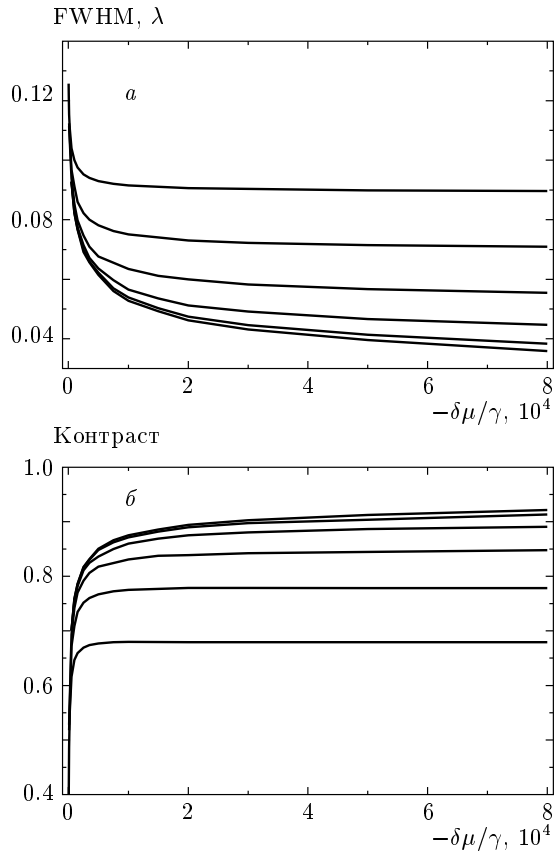


Рис. 2. FWHM пространственно-локализованных атомных структур (а) и величина контраста (б) как функции параметра $\delta\mu$ при различных отстройках светового поля ($\delta/\gamma = -5, -10, -20, -40, -80, -160$ сверху вниз на рис. а и снизу вверх на рис. б) для модели атома с замкнутым оптическим переходом $j_g = 1/2 \rightarrow j_e = 3/2$

распределение атомов по скоростям. Кроме того, кинетическое уравнение было записано в упрощенной форме только для низших пространственных гармоник. В рассматриваемом случае полное число пространственных гармоник, удерживаемых при расчетах, определяется сходимостью решения уравнения (13) в виде цепных дробей и зависит от параметров светового поля. В наших вычислениях это число не превышало 30. В качестве примера на рис. 1 приведены стационарные пространственное и импульсное распределения для атомов с оптическим переходом $j_g = 1 \rightarrow j_e = 2$ при отстройке $\delta = -40\gamma$ и параметре насыщения $S = 0.5$ в поле $lin \perp lin$ -конфигурации. Амплитуды пространственных гармоник атомной матрицы плотности

$$R^{(n)} = \int \text{Tr}\{\hat{\rho}^{(n)}(p)\} dp$$

показаны на рис. 1в. Равенство нулевой гармоники единице определяется условием нормировки. Как видно на рис. 1в, амплитуды высших гармоник быстро уменьшаются с ростом n .

4. РЕЗУЛЬТАТЫ

В данном разделе мы рассмотрим стационарное пространственное распределение атомов, имеющих вырожденные по проекции углового момента уровни в оптическом потенциале, созданном световым полем $lin \perp lin$ -конфигурации. Мы выбрали данную конфигурацию в качестве простого примера поля с неоднородной пространственной поляризацией, в котором варьируется лишь эллиптичность вектора поляризации, в то время как другие параметры светового поля (интенсивность, фаза и ориентация вектора поляризации) остаются неизменными в пространстве. Оптический потенциал в таком поле имеет пространственный период $\lambda/4$, что делает его наиболее привлекательным для создания атомных структур с высокой пространственной периодичностью.

Имеется несколько параметров, необходимых для описания лазерного охлаждения нейтральных атомов: атомная масса M , естественная ширина возбужденного уровня γ , длина волны λ , отстройка от атомного резонанса δ и параметр насыщения S . Для анализа кинетики удобно выбрать безразмерную систему единиц ($\hbar = 1, k = 1, \gamma = 1$), в которой безразмерный параметр массы M можно определить из соотношения $\gamma/\omega_R = 2\tilde{M}$ [6]. Это так называемый параметр квазиклассичности, характеризующий кинетическую энергию атомов в световом поле по отношению к энергии отдачи. Он удобен, поскольку задает соотношение между скоростью атома, обычно измеряемой в единицах γ/k , определяющей доплеровское уширение, и импульсом, измеряемым в единицах $\hbar k$. Так, например, доплеровской скорости $kv = \gamma$ соответствует импульс атома $S\hbar$, равный $p = 115\hbar k$. В частности, параметр $2\tilde{M}$ определяет отношение скорости эволюции атомной функции распределения в импульсном пространстве к скорости упорядочения по внутренним степеням свободы. При этом характерное время лазерного охлаждения по порядку величины равно $\tau = \omega_R/\gamma S$.

Мы провели анализ эффектов локализации атомов в оптическом потенциале. Величина контраста локализованных атомных структур может быть

Безразмерный параметр массы \tilde{M} , соответствующий замкнутому оптическому переходу, пригодному для лазерного охлаждения, для различных элементов. Дополнительно указаны длина волны λ и интенсивность насыщения ($I_S = 2\pi^2\hbar c/\lambda^3$) оптических переходов

Элемент	Переход	I_S , мВт/см ²	λ , нм	\tilde{M}
⁷ Li	$2^2S_{1/2} \rightarrow 2^2P_{3/2}$	2.56	671	46
²³ Na	$3^2S_{1/2} \rightarrow 3^2P_{3/2}$	6.34	589	198
³⁹ K	$4^2S_{1/2} \rightarrow 4^2P_{3/2}$	1.81	766	358
⁸⁵ Rb	$5^2S_{1/2} \rightarrow 5^2P_{3/2}$	1.63	780	770
¹³³ Cs	$6^2S_{1/2} \rightarrow 6^2P_{3/2}$	1.06	852.3	1270
⁵² Cr	$4^7S_3 \rightarrow 4^7P_4$	8.49	425.6	115
²⁷ Al	$3p^2P_{3/2} \rightarrow 3d^2D_{5/2}$	57	309.4	85
⁶⁹ Ga	$4p^2P_{3/2} \rightarrow 4d^2D_{5/2}$	127	294.4	382
¹¹⁵ In	$5p^2P_{3/2} \rightarrow 5d^2D_{5/2}$	78	325.7	634
¹⁰⁷ Ag	$5^2S_{1/2} \rightarrow 5^2P_{3/2}$	76.8	328	601

определена как $C = h/H$ (рис. 1а) подобно [1]. Исходя из уравнения (9), можно показать, что остаются только два параметра, характеризующих стационарное решение для атомной матрицы плотности. Это отстройка, измеряемая в единицах естественной ширины, $\tilde{\delta} = \delta/\gamma$, и безразмерный параметр μ :

$$\mu = S\tilde{M}. \tag{14}$$

Данный масштабный параметр позволяет обобщить результаты для элементов с различными оптическими переходами и массами (таблица).

Отметим также, что в секулярном приближении [16] стационарное решение зависит лишь от отношения глубины оптического потенциала к энергии отдачи $U_0/\hbar\omega_R$, что пропорционально $\tilde{\delta}\mu$ в наших обозначениях. Поэтому сначала приведем зависимости результатов нашего анализа от параметра $\tilde{\delta}\mu$ при различных отстройках $\tilde{\delta}$. Как видно из рис. 2, имеется различие между кривыми, соответствующими разным отстройкам. Это различие возрастает с ростом глубины оптического потенциала, что соответствует выходу за рамки секулярного приближения. Ширина локализованных атомных структур FWHM (полная ширина на полувысоте) и контраст асимптотически стремятся к постоянным значениям с ростом интенсивности светового поля. Асимптотические значения FWHM в зависимости от $\tilde{\delta}$ представлены на рис. 3.

На рис. 4 представлены FWHM и контраст локализованных атомных структур как функции параметра μ при различных отстройках, полученные для модели атомов с оптическим переходом

Асимптотика FWHM, λ

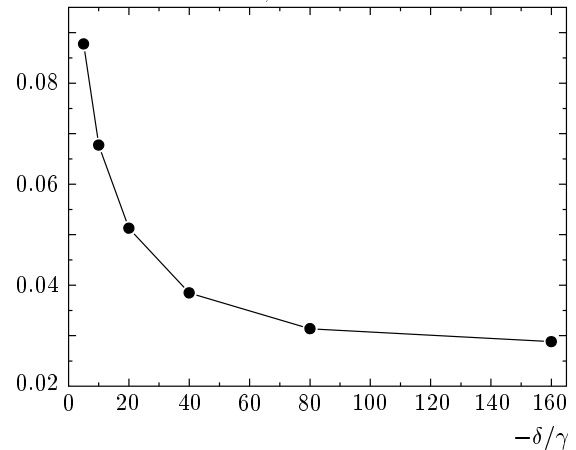


Рис. 3. Асимптотика FWHM пространственно-локализованных атомных структур как функция отстройки светового поля для модели атома с замкнутым оптическим переходом $j_g = 1/2 \rightarrow j_e = 3/2$

$j_g = 1/2 \rightarrow j_e = 3/2$. FWHM пространственных структур монотонно убывает с ростом параметра μ . Несмотря на то что стационарная температура атомного ансамбля возрастает с ростом глубины оптического потенциала, локализация атомов становится все более значительной. Дополнительно увеличивается контраст локализованных структур (рис. 4б). Штриховые вертикальные линии на рис. 4 качественно задают область ограничения применения приближения малого насыщения для различных элементов таблицы в предположении, что

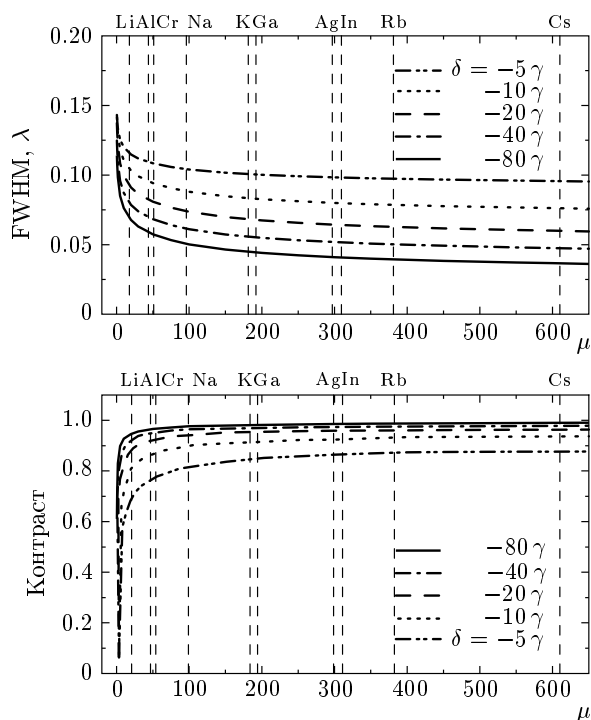


Рис. 4. FWHM пространственно-локализованных атомных структур (а) и величина контраста (б) как функции параметра μ при различных отстройках светового поля для модели атома с замкнутым оптическим переходом $j_g = 1/2 \rightarrow j_e = 3/2$

$S < 0.5$. Для детального анализа применимости приближения слабого поля необходим выход за его рамки, т. е. исследование решений уравнения для полной матрицы плотности с учетом эффектов насыщения. Однако данные кривые (рис. 4) имеют сильную зависимость от параметра μ , и эффект локализации остается значительным при малых насыщениях, особенно для «тяжелых» атомов (таблица).

5. ЗАКЛЮЧЕНИЕ

Мы провели исследование локализации атомов в глубоком оптическом потенциале на основе полностью квантового подхода. В общем случае условия, требуемые для сверхглубокого лазерного охлаждения, не соответствуют условиям, необходимым для значительной локализации атомов в оптической решетке. Более того, с ростом глубины оптического потенциала секулярное приближение (1) становится неприменимым. Предлагаемый подход не имеет подобных ограничений, что позволяет более корректно описать пространственное распределение атомов,

включая эффекты локализации и надбарьерного движения атомов. Стационарное решение для матрицы плотности атомов является функцией двух параметров: отстройки δ и параметра μ (14). Мы провели анализ контраста и ширины локализованных атомных структур как функций данных параметров. Показано, что ширина и контраст локализованных атомных структур имеют сильную зависимость от параметра μ и стремятся к постоянным значениям, зависящим от отстройки светового поля, с ростом глубины оптического потенциала.

Таким образом, лазерное охлаждение нейтральных атомов в глубоком оптическом потенциале, созданном неоднородно поляризованным полем, может быть использовано в качестве диссипативной оптической маски для целей атомной литографии при формировании периодических пространственно-локализованных атомных структур с высоким контрастом. Отличительной особенностью рассмотренной диссипативной оптической маски по отношению к исследованным ранее недиссипативным маскам является то, что она не чувствительна к различным абберационным эффектам, т. е. к начальному разбросу по скоростям в атомном пучке. Проведен анализ возможных достижимых параметров контраста и локализации атомных структур.

Работа выполнена при финансовой поддержке РФФИ (гранты №№ 07-02-01230, 05-02-17086, 07-02-01028, 05-08-01389), INTAS-CO РАН (грант № 06-1000013-9427), президиума СО РАН, а также гранта МК-1438.2005.2.

ЛИТЕРАТУРА

1. D. Meschede and H. Metcalf, J. Phys. D: Appl. Phys. **36**, R17 (2003).
2. M. K. Oberthaler and T. Pfau, J. Phys.: Condens. Matter **15**, R233 (2003).
3. J. J. McClelland and M. R. Scheinfein, J. Opt. Soc. Amer. B **8**, 1974 (1991).
4. A. P. Kazantsev, G. I. Surdutovich, and V. P. Yakovlev, *Mechanical Action of Light on Atoms*, World Sci., Singapore (1990).
5. R. Stutzle, D. Jurgens, A. Habenicht, and M. K. Oberthaler, J. Opt. B.: Quantum Semiclass. Opt. **5**, S164 (2003).
6. O. N. Prudnikov and E. Arimondo, J. Opt. B.: Quantum Semiclass. Opt. **6**, 336 (2004).

7. D. J. Wineland and Wayne M. Itano, *Phys. Rev. A* **20**, 1521 (1979).
8. J. Dalibard and C. Cohen-Tannoudji, *J. Opt. Soc. Amer. B* **6**, 2023 (1989).
9. S. M. Yoo and J. Javanainen, *Phys. Rev. A* **45**, 3071 (1992).
10. Y. Castin and J. Dalibard, *Europhys. Lett.* **14**, 761 (1991).
11. K. Berg-Sorensen, Y. Castin, K. Molmer, and J. Dalibard, *Europhys. Lett.* **22**, 663 (1993).
12. J. Guo and P. Berman, *Phys. Rev. A* **48**, 3225 (1993).
13. Y. Castin, K. Berg-Sorensen, J. Dalibard, and K. Molmer, *Phys. Rev. A* **50**, 5092 (1994).
14. I. H. Deutsch, J. Grondalski, and P. M. Alsing, *Phys. Rev. A* **56**, R1705 (1997).
15. M. Gatzke, G. Birkl, P. S. Jessen, A. Kastberg, S. L. Rolston, and W. D. Phillips, *Phys. Rev. A* **55**, R3987 (1997).
16. S. Marksteiner, R. Walser, P. Marte, and P. Zoller, *Appl. Phys. B* **60**, 145 (1995).
17. P. S. Jessen, C. Gerz, P. D. Lett, W. D. Phillips, S. L. Rolston, R. J. C. Spreeuw, and C. I. Westbrook, *Phys. Rev. Lett.* **69**, 49 (1992).
18. G. Raithel, G. Birkl, A. Kastberg, W. D. Phillips, and S. L. Rolston, *Phys. Rev. Lett.* **78**, 630 (1997).
19. B. J. Feldman and M. S. Feld, *Phys. Rev. A* **5**, 899 (1972).
20. S. Stenholm, *Phys. Rep.* **43**, 151 (1978).
21. S. A. Babin, D. V. Churkin, E. V. Podivilov, V. V. Potapov, and D. A. Shapiro, *Phys. Rev. A* **67**, 043808 (2003).
22. V. G. Minogin and O. T. Serimaa, *Opt. Comm.* **3**, 373 (1979).
23. S. M. Tan, *J. Opt. B: Quantum Semiclass. Opt.* **1**, 424 (1999).
24. S. M. Yoo and J. Javanainen, *J. Opt. Soc. Amer. B* **8**, 1341 (1991).